

Onde nei fluidi

Se trascuriamo la viscosità, le onde trasversali non esistono, ma sono longitudinali (rarefazione e compressione)

Caratterizziamo un fluido con  $T$ ,  $\rho$ ,  $P$ , punto per punto.

In ogni punto consideriamo un insieme di molecole, non "molecola per molecola". Parliamo di cellule nello spazio.

Quello che consideriamo sono valori medi e variazioni da queste:

$$P = P_0 + \delta P$$

$$\delta P \ll P_0$$

$$T = T_0 + \delta T$$

$$\delta T \ll T_0$$

$$\rho = \rho_0 + \delta \rho = \rho_0(1+s)$$

Se ho una regione del fluido che si sposta, causiamo una variazione di pressione  $\delta \rho$  (densità).

definiamo la funzione  $\xi(x)$  che rappresenta quanto il fluido (l'aria) si è spostato rispetto all'equilibrio.

La massa contenuta all'interno del volume di fluido è:

$$dm = \rho dV = \rho_0 S dx$$

All'arrivo della perturbazione, abbiamo  $dm = (\rho_0 + \delta \rho) S (dx + \xi(dx+x) - \xi(x))$

$$\text{Possiamo scrivere: } dm = (\rho_0 + \delta \rho) S dx \left( 1 + \frac{\partial \xi}{\partial x} \right)$$

E trascurando effetti al secondo' ordine:

$$dm = \rho_0 S dx + \delta \rho S dx + \rho_0 S dx \frac{\partial \xi}{\partial x}$$

ovvero:  $\boxed{\delta \rho = -\rho_0 \frac{\partial \xi}{\partial x}}$  Definiamo  $\beta = \frac{1}{\rho} \frac{\partial \rho}{\partial P} = \frac{1}{\rho} \frac{\partial V}{\partial P}$  compres-

sibilità di un fluido, da cui  $\frac{\partial V}{\partial P} = -\beta \frac{\partial P}{\partial V}$ . H.B. spesso

si definisce  $\frac{1}{K} = \beta$ , dove  $K$  = modulo di compressibilità.

$$\boxed{\delta \rho = \rho \beta P}$$

dall'equazione dei gas perfetti otteniamo:

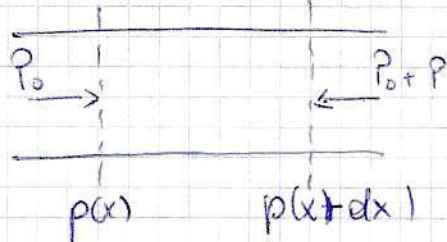
$$PV = nRT = nNAkT$$

$$P = \frac{m}{V} = \frac{nM_0}{V} = \frac{nM_0}{nRT} T$$

A seconda del tipo di trasformazione, la conclusione è diversa.  
Ad esempio, per un'isoterma:

$$(1) \quad \beta_T = \frac{1}{P} \frac{M_0}{R T} = \frac{1}{\textcircled{I}} \quad ) \text{ rel. dei gas perfetti}$$

pressione



$$\frac{dF = S(p(x) - p(x + \Delta x))}{-S \frac{\partial p}{\partial x}} = \rho S dx \frac{\partial^2 \xi}{\partial x^2}$$

Partiamo da quest'ultima relazione:

$$-\frac{\partial \sigma_{xx}}{\partial x} = -\frac{S}{P_0} \frac{\partial \left(\frac{\sigma_{xx}}{P_0}\right)}{\partial x} = P_0 \frac{\frac{\partial^2 \sigma_{xx}}{\partial x^2}}{\partial t^2}$$

$$l \quad c = \frac{1}{\sqrt{P_0 \beta}}$$

Se ipotizziamo che il processo sia isotermo  $C = \int \frac{RT}{M_0} dP$ . È però un errore, perché il processo è adiabatico.

Le equazioni adiabatiche sono  $PV^\gamma = \text{cost.}$

$$\gamma = \frac{C_P}{C_V}$$

$$x_{\text{area}} = 1,4$$

$$\beta_S = -\frac{1}{\sqrt{\partial P}} \frac{\partial U}{\partial P} = -\frac{1}{\sqrt{\partial P / \partial V}} = -\frac{1}{\sqrt{\frac{1}{\cos(-\gamma) V^{\gamma-1}}}} = \frac{1}{\cos \gamma} \cdot \frac{1}{V^\gamma} =$$

$$= \frac{P\sqrt{s}}{\cos \gamma p} = 1$$

A questo punto,  $c = \frac{1}{\sqrt{\beta_s P_0}} = \sqrt{\frac{OR}{Mo}} T$  che è quella giusta!

$$l_{\text{arde}} = 332 \text{ m/s}$$

$$c_{\text{effig}} = 1020 \text{ m/s}$$

Notiamo che, in generale (non solo per i gas perfetti):  $\beta_T = \gamma \beta_S$

Tutta la trattazione continua a valere per la pressione:

$$\nabla^2 P = \rho_0 \beta \frac{\partial^2 P}{\partial t^2} \quad (\text{o anche } \rho)$$

La velocità di un elementino di fluido, è data da  $\vec{v}$ . È la velocità media del fluido nel punto.

Se vale  $\vec{\nabla} \times \vec{v} = 0$  (no vortici) possiamo semplicemente scrivere  $\vec{v} = \vec{\nabla} \phi$ .

In generale, possiamo scrivere per un'onda qualsiasi:

$$\xi(\vec{x}, t) = \int d\vec{k} [A(\vec{k}) e^{i(kx - \omega t)} + B(\vec{k}) e^{i(kx + \omega t)}]$$

Domandiamoci ora quanto vale la forza e la ~~potere~~ potenza dell'onda

$$F = SP = S \frac{1}{\rho_0} \delta P = - S \frac{1}{\rho_0} \frac{\partial \xi}{\partial x}$$

$$W = Fv = - S \frac{1}{\rho_0} \frac{\partial \xi}{\partial x} \frac{\partial \xi}{\partial t} = + S \frac{1}{\rho_0} A^2 (ik) (i\omega)$$

Nel caso di un'onda piana:  $\xi(x, t) = A e^{i(kut - kx)}$

$$\langle W \rangle = S \frac{A^2 \omega^2}{\rho_0 c} \cdot \frac{1}{2} = \frac{1}{2} \frac{S A^2 \omega^2}{\rho_0 c} = \frac{1}{2} S A^2 \omega^2 \rho_0 c \rightarrow \text{impedenza caratteristica dell'aria.}$$

L'intensità dell'onda è poi:  $I = \frac{\langle W \rangle}{S} = \frac{1}{2} A^2 \omega^2 z_0$

Definiamo l'impedenza acustica  $Z = \frac{P}{v}$ .

$$\xi = A e^{i(wt - kx)} \rightarrow v = \dot{\xi} = Ai\omega e^{i(wt - kx)}$$

$$P = A_p e^{i(wt - kx)}$$

$$\begin{aligned} \text{Ricordando che } & \frac{\partial P}{\partial t} = \rho_0 \frac{\partial^2 \xi}{\partial t^2} = \rho_0 \frac{\partial}{\partial t} (\dot{\xi}) \\ & - A_p (-i\omega) e^{i(wt - kx)} \frac{\partial \xi}{\partial x} = \rho_0 A (-\omega^2) e^{i(wt - kx)} = \\ & = \rho_0 (i\omega) v \end{aligned}$$

$$ikP = i\omega \rho_0 v ; z_0 = \frac{P}{v} = \frac{i\omega P}{iK} = \rho_0 c$$

Consideriamo ora un risuonatore di Helmholtz. Nell'approssimazione



$\lambda \gg$  dimensioni  $\rightarrow$  valori costanti su tutta la bottiglia.

Applichiamo una p al collo delle bottiglie.

$$\frac{P}{P_0} = -\gamma \frac{\Delta V}{V_0} = -\gamma \frac{\Delta x}{\sqrt{V}}$$

La massa  $m = \rho S L$  è l'inertie del collo.

Ipotizziamo poi che la forza di reazione del volume è  $k = -\frac{F}{\Delta x} = \frac{\rho S}{\Delta x}$

ovvero:  $k = \frac{\rho S V}{\Delta x} = \frac{\rho S^2}{V}$

Se questo è un O.A. come modellizzato:  $\omega = \sqrt{\frac{k}{m}} = \sqrt{\frac{\rho S^2}{V \rho S L}}$

$$= c \sqrt{\frac{S}{VL}} = c \boxed{\sqrt{\frac{S}{VL}}}$$

### Leczione 8: 10/05/2013

Abbiamo visto l'equazione  $\nabla^2 \xi = \frac{1}{c^2} \frac{\partial^2 \xi}{\partial t^2}$   $\xi(\vec{x}, t) = \int d\vec{k} a(\vec{k}) e^{i(\vec{k} \cdot \vec{x} - \omega t)}$

$$F = p S = -\frac{1}{\beta_s} \frac{\partial \xi}{\partial x} \cdot S$$

$$W = F \cdot \xi = -\frac{1}{\beta_s} S \frac{\partial \xi}{\partial x} \frac{\partial \xi}{\partial t}$$

Se scriviamo  $\xi = A \sin(\omega t - k_x)$

$$\langle W \rangle = -\frac{1}{\beta_s} S A^2 \frac{\omega}{2} k = \frac{1}{2} \rho A^2 \omega^2 c S$$

da cui  $I = \frac{\langle W \rangle}{S} = \frac{1}{2} (\rho A^2 \omega^2 c) = \frac{dE}{dt}$

$$= \frac{1}{2} (\rho c A^2 \omega^2) \cdot A_w = \frac{1}{2} \frac{A_w^2}{\rho c}$$

forzante

$$m \ddot{\xi} + k \xi = F_e e^{i \omega t}$$

forza elastica

$\xi$  è lo spostamento superficiale. In 3D è più pratico usare volumi d'aria spostati:  $\dot{V}$ .

Nel caso di onda piana:

$$\dot{V} = \dot{\xi} S$$

$$\frac{m \ddot{V}}{S^2} + \frac{k V}{S^2} = \frac{F_e}{S} e^{i \omega t}$$

$$\text{se } k \gg 0 \Rightarrow \frac{m \ddot{V}}{S^2} = p \Rightarrow i m \omega \dot{V} = p \Rightarrow Z = \frac{p}{\dot{V}} = \frac{i \omega m}{S^2}$$

impedimento "volumico" che è l'impedenza del mezzo-

la vera del mezzo-

$$\text{Se invece } m \approx 0 \quad \frac{KV}{S^2} = p ; \quad \frac{KV}{iws^2} = p \quad Z = \frac{p}{V} = \frac{K}{iws^2}$$

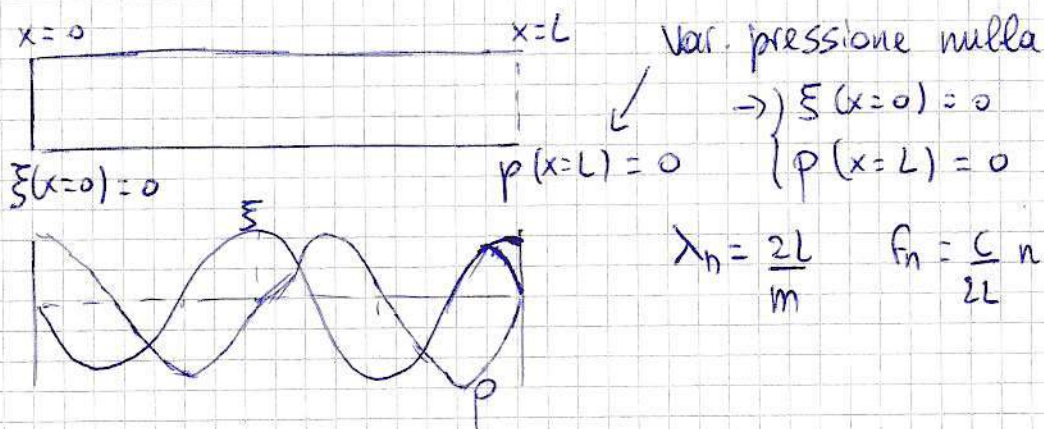
L'impedenza globale è data da:  $Z = i \left( \omega \frac{m}{S^2} - \frac{K}{iws^2} \right)$

$$\text{Tubo} \Rightarrow \frac{1}{S} \quad Z = i\omega \frac{\rho SL}{S^2} \quad \text{""} \frac{1}{C}$$

$$\text{Cavità} \Rightarrow Z = \frac{K}{iws^2} = \frac{1}{i\omega \beta_s S L}$$

$$\text{La } Z \text{ del risuonatore di Helmholtz è: } Z = i \left( \frac{\rho L \omega}{S} - \frac{\rho c R}{\sqrt{\omega}} \right)$$

E' una frequenza a cui la  $Z$  è nulla:  $\omega_0 = c \sqrt{\frac{V_L}{L}}$ , che è la stessa del canto già fatto. In generale c'è anche un termine reale, che non può essere annullato.



$$\lambda_n = \frac{2L}{m} \quad f_n = \frac{c}{2L} n$$

$$\text{Per un tubo aperto a dx e sx: } \lambda_n = \frac{4L}{2n+1} \quad f_n = \frac{c}{4L} (2n+1)$$

$$\downarrow p(x=0) = p(x=L) = 0$$

La condizione  $p(x=L)=0$  non è verificata al 100%, perché qualcosa vogliamo sentire fuori. Questo introduce inarmonicità nello spettro.

Il fatto che l'aria vibri un po' anche fuori dal tubo può essere visto come una correzione alla lunghezza



l'impedenza cambia in modo continuo, non come un tubo dove passa da  $Z_1$  a  $Z_0$  bruscamente.

Possiamo fare in modo che  $Z_1 \approx Z_0$ , in questo modo esce più aria, e quindi otteniamo un suono più intenso all'esterno.

$$p = \frac{A_p e^{i(\omega t - kr)}}{r} \quad \vec{\xi} = \vec{v}$$

$\vec{\nabla} p = -p \frac{\partial \vec{v}}{\partial t}$  per un fluido irrotazionale:  $\vec{\omega} = \vec{\nabla} \phi$ , e quindi

$$\vec{\nabla} (P + p \frac{\partial \phi}{\partial t}) = 0 \quad \text{un modo per soddisfare l'eq. è } P + p \frac{\partial \phi}{\partial t} = 0$$

$$p = -p \frac{\partial \phi}{\partial t} \Rightarrow \phi = -\frac{P}{\rho i \omega} \Rightarrow \vec{\omega} = \vec{\nabla} \phi = -\frac{1}{\rho i \omega} \vec{\nabla} p.$$

In simmetria sferica, avremo:  $\vec{v} = -\frac{1}{\rho i \omega} \hat{r} \frac{\partial p}{\partial r}$

$$\frac{\partial p}{\partial r} = \frac{A_p (-ik)}{r} e^{i(\omega t - kr)} - \frac{A_p e^{i(\omega t - kr)}}{r^2}$$

$$\Rightarrow \vec{v} = \frac{1}{\rho c} \left( 1 - \frac{i}{kr} \right) \hat{r} p$$

La  $\vec{v}$  ora è complessa, e vale:

$$v = \frac{\rho c}{1 + kr} (i + kr) kr$$

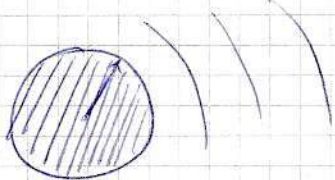
Questo è un modello di propagazione sferica nell'aria.

$$z = \begin{cases} kr \gg 1 \rightarrow z = pc \Rightarrow \text{onda piana} \\ kr \ll 1 \rightarrow z = ikr pc \Rightarrow \text{sfasate di } \frac{\pi}{2} \text{ (intensità nulla!)} \end{cases}$$

Attenzione perché questo vale solo nell'aria! Per emettere suoni, devo far sì che  $\frac{1}{k} \gg r$ , in modo da non arrivare mai nella zona

$$kr \ll 1.$$

$$k = \frac{2\pi}{\lambda}$$



Discussione sugli strumenti Fisico / Slides.

### La voce umana

Tratto vocale: risuonatore  $\sim$  tubo complicato.

Corde vocali: oscillatore

Quattro regioni che posso far variare (lingua, labbra, mascelle)  $\rightarrow$  sono dette formanti. A seconda della vocale cambia la prima formante e la seconda.

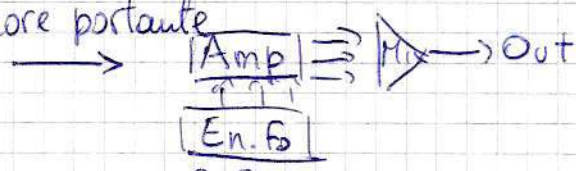
Vocoder

Dudley 1939

Voice Operating Demonstrator

Vocoder → analizzatore di spettro con bandi di filtri ed envelope followers che controllano il guadagno.

Rumore portante



Modulante  
Voce

Prendiamo l'envelope della voce  
ma la frequenza del rumore

## Percezione del suono

### Orecchio Umano

Orecchio esterno → canale auricolare → timpano → ossicini → eodole

Ossicini: martello incudine stile

Adattamento d'impedenza → guadagno +20 dB



l'onda che si propaga nella eodola cambia ampiezza nello spazio ma ha massimo in un punto per poi andare a zero. Correlazione tra f. e pto di max risposta

Teoria posizionale di Bekesy { disposizione logaritmica.

Non basta per spiegare tutto, perché noi abbiamo una risoluzione del 0,2% non interpretabile solo con il meccanismo posizionale.

Teoria della frequenza → neuroni si attivano in sincronismo con lo stimolo, ma non ad ogni ciclo

Intervallo di attivazione sono multipli casuali delle p. frequenti.

Intensità  
Frequenza  
Spettro  
Involuppo

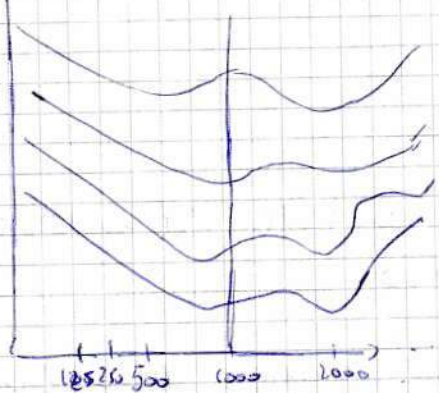
Volume  
Altezza  
Timbro

Parametri psicofisici

Int. e frequente  
Ritmo e frequente

# Curve di Fletcher

Phon = dB ad 1 kHz



A



Percettione dell'intensità

$$S_2 - S_1 = 2k \log \frac{P_2}{P_1} \quad \text{In realtà è una potenza}$$

Sone = 1 sone = 40 phon.

sone  $\times 2 \Rightarrow$  raddoppio volume  
 $= +10 \text{ dB}$

Toni di Shepard

Lezione 10: 24/05/2013

Battimenti, suoni di Tartini

Suoni

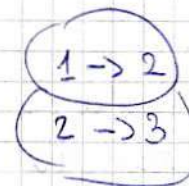
→ Fondamentale mancante

Frequenza

$$1 \rightarrow 2 \rightarrow 3 \rightarrow 4$$



$1 + i, 10$  No, non va bene



ottava

ragione  $\frac{3}{2}$

$$1; \frac{3}{2}; \frac{9}{4}; \frac{27}{8}$$



nell'ottava

$$1; \frac{3}{2}; \frac{9}{8}; \frac{27}{16}; \frac{81}{64}; \frac{243}{128}; \frac{729}{512}$$

$$\left( \frac{2187}{2048} \right) \dots$$

2048

$\dots$

Quando abbiamo fatto 12 note, veniamo una cosa molto vicina ad 2, ma non proprio.

$$\left( \frac{3}{2} \right)^{12} = 2,0273 \quad (\text{non è possibile che } \left( \frac{3}{2} \right)^n = 2^m \dots)$$
$$\therefore \frac{3^{12}}{2^6} = 1,01364 \Rightarrow \text{eoma pitagorico}$$

Questo processo genera il cireolo delle quinte

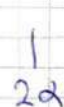
Tra  $\frac{3}{8}$  e  $\frac{27}{16}$ : rapporto di  $\frac{3}{2}$

Problema: 1,  $\frac{3}{8}, \frac{81}{64}, \frac{9}{16}, \frac{3}{2}, \frac{27}{16}, \frac{243}{128}, 2$

↪ la scala non si chiude: C<sub>P</sub>

la scala non ha il valore 5 (al posto di  $\frac{81}{64} = \frac{80}{80}$ )

Modifichiamo leggermente le quinte in modo da far suonare bene la terza. Purtroppo, il problema delle partenze resta. Si risolve con il temperamento equabile:



→ Faceva schifo a tutti, ma alla fine ha vinto.

Intervallo  $\alpha = \sqrt[12]{2}$

Altri criteri per fare le scale  $\left\{ \begin{array}{l} \alpha \\ \beta \\ \gamma \end{array} \right\}$  minimizzare il  $\chi^2$ .

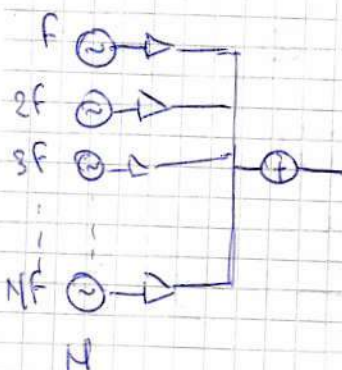
Il concetto di "sintesi del suono" è quello di riuscire a riprodurre suoni utilizzando meno informazioni di quelle necessarie.

Sintesi del suono  $\Rightarrow$  elettronica, diversi sistemi di sintesi: { analogici } digitali

Sintesi additiva  $\rightarrow$  trasformata di Fourier

L'organo a canne  $\rightarrow$  limitazione sui livelli

$\rightarrow$  staticità delle t.d.F.



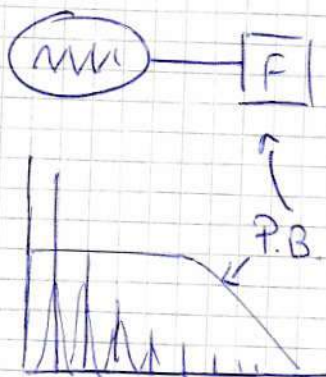
Il numero  $N$  dipende dalla frequenza  $f$ , ma ipotizziamo  $32 = N$ , con 32 oscillatori e amplificatori.

Il problema è che così ho bisogno, per suonare un'altra nota, di altre 32 oscillatori.

Il numero di risorse richieste è quindi molto grande.

Sintesi sottrattiva

$\rightarrow$  generiamo un'onda rettangolare, triangolare, a dente di sega. Questi segnali hanno spettri come  $\frac{1}{f}, \frac{1}{f^2}, \dots$



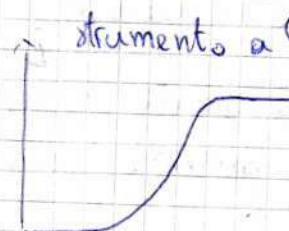
Faccio passare il mio segnale in un filtro, in modo da ridurre le ampiezze non volute

con freq. di taglio "spostabile".

Partendo da una qualsiasi forma d'onda, otterò sempre una sinusoidale, quando taglierò tutte le frequenze più alte.



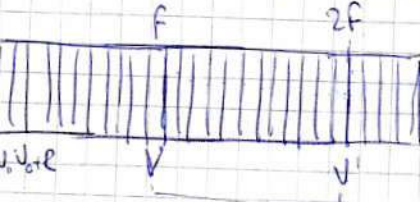
strumento percussivo



strumento a fiato

per ogni nota!

A seconda della nota da suonare, deve variare la  $f$  dell'oscillatore. Controlliamo l'oscillatore in tensione



$$f = \alpha e^{V/V_0}$$

$$V_0 = \frac{1}{\ln 2} (V' - V)$$

Altice et al. per fair & scale

$$\int_a^b f(x) dx = \alpha \cdot \sqrt{b-a}$$

spoonable;  $\rightarrow$  faceta scufa a tuu, maa alltaa fine ha uuto.

Most of them have been aggregated into a single module as shown in Figure 6. The student interface is shown in Figure 7.

A sealoc won he il valoare 5 (al posfo du 84 64 80 78 75 72 70 68 66 64 62 60 58 56 54 52 50 48 46 44 42 40 38 36 34 32 30 28 26 24 22 20 18 16 14 12 10 8 6 4 2 0

for some now is difficult

Problema: 1,  $\frac{3}{5}$ , 85, 45, 3, 2, 64, 67, 8, 128

$$T_{\text{ca}} \approx 27^\circ \text{C} : \text{soft point of oil } \frac{3}{2}$$

Our software process generic if creates define quality

$$P(\text{success}) = \left(\frac{1}{3}\right)^n = 0.023 \quad (\text{now it is possible due to } \frac{1}{3}^3 = 0.037)$$

$$= - \frac{1}{t+13} \Big)$$

and 2, ma non prenderlo.

unquestionably what cosa mordere u' cosa

Quartado alhambra (alto) 12 note, 1 :  $\frac{3}{2}$  : 9 :  $\frac{27}{8}$  :  $\frac{16}{10}$  :  $\frac{81}{64}$  :  $\frac{243}{64}$  :  $\frac{729}{512}$  :  $\frac{2187}{512}$  :  $\frac{6561}{512}$  :  $\frac{19683}{512}$  :  $\frac{59049}{512}$

mett' altre

Apprentice wife

3. (c) + 1, now use base

$$\left( \frac{3}{2}, \frac{9}{4}, \frac{27}{8} \right)$$

$$2 \rightarrow 3$$

۴۰

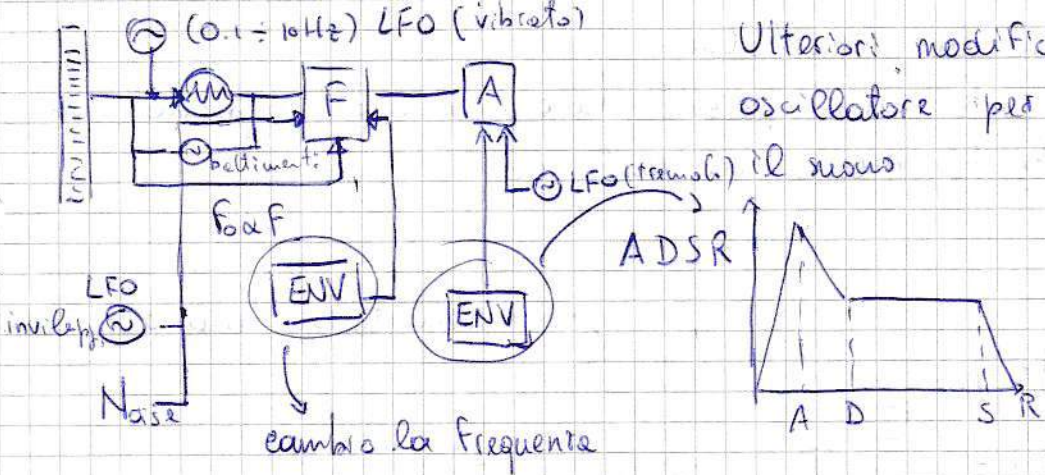
$$y \leftarrow z - 2 \cdot T$$

Hesquiat

↳ Foundation of macroculture

Battlement, snow drifts.

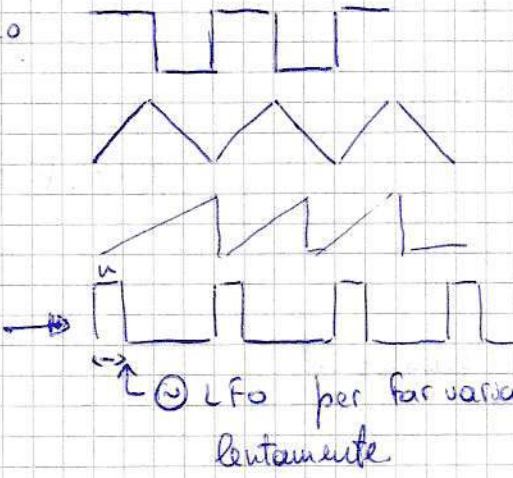
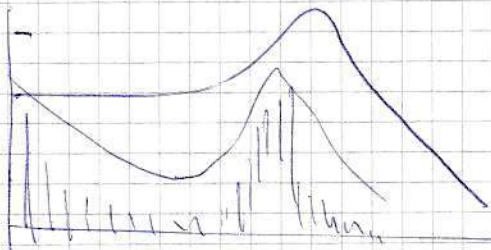
Exercise 10: 24(05/8013)



Le forme facili da generare sono

Il filtro in realtà ha comunque una f. di risonante con un buco nella risposta.

così posso far variare molto la il timbro



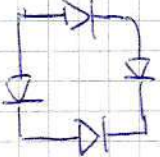
Un altro metodo di generazione dei suoni  $\Rightarrow x_1(t) \otimes x_2(t)$

$$\cos(\omega_1 t) \cos(\omega_2 t) = \frac{\omega_1 - \omega_2}{\omega_1 + \omega_2}$$

E se fossero forme d'onda casuali?

$$\sum \cos(\omega_n t) \quad \sum \cos(\omega_n t)$$

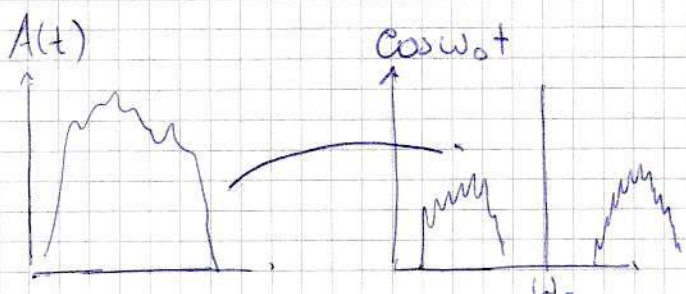
modulatore ad anello  
Ring Modulator



$$\text{Se } \frac{\omega_2}{\omega_1} = \frac{n}{m} \Rightarrow$$

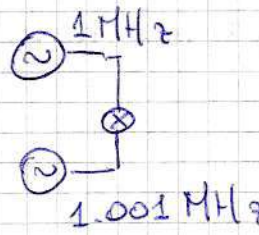
Ottieniamo facilmente una modulazione d'ampiezza, inserendo una  $A(t)$  lentamente variabile:  $A(t) \cos(\omega_1 t)$ . L'aspetto fisico ricorda il fenomeno dei battimenti.

Quello che si fa così è



spostare tutto il blocco di  $A$  attorno alla frequenza  $\omega_0$ .  
Funzionamento del Theremin.

Il Theremin ut. l'ifica due oscillatori



$f_2$  varia perché facciamo una esercitazione con  
 $F = f_1 + f_2$  mano ed antenna

$$A \cos(\omega + f(t))t$$

$$A \cos(\omega t + I f(t)) = \sum_{n=0}^{\infty} J_n(I) \cos(\omega \pm n\omega't)$$

Implementatione digitale Yamaha

Wavetable

$$F(x(t))$$

magari è campionato

Altri filtri sono quello granulare